

РАДИОТЕХНИКА И РАДИОТЕХНИЧЕСКИЕ УСТРОЙСТВА

ИССЛЕДОВАНИЕ СИСТЕМЫ ФАПЧ С ПИЛООБРАЗНОЙ ХАРАКТЕРИСТИКОЙ ФАЗОВОГО ДЕТЕКТОРА МЕТОДОМ СТАТИСТИЧЕСКОЙ ЛИНЕАРИЗАЦИИ

*В. М. Качеровский, А. С. Краснополюсовский,
Ю. Н. Соколов*

Харьков

Система фазовой автоподстройки частоты ФАПЧ в реальных условиях работает при относительно больших уровнях внешних и внутренних случайных возмущений, действие которых приводит

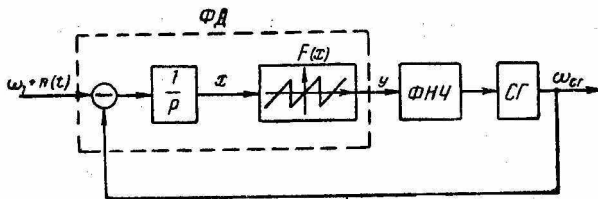


Рис. 1.

к нарушению периодичности основного (синхронизированного) колебания. Поэтому представление выходного сигнала как суммы гармонической и случайной составляющих, вызывающее необходимость применения совместной статистической и гармонической линеаризации, является нецелесообразным.

На основании этого в работе [1] изложен и экспериментально обоснован приближенный метод исследования автоколебательных систем, работающих при действии случайных возмущений, основанный лишь на статистической линеаризации нелинейностей.

На рис. 1 представлена структурная схема системы ФАПЧ, которая состоит из фазового детектора ФД — выделен пунктирной линией, — фильтра нижних частот ФНЧ и стабилизированного генератора СГ. На вход системы поступает полезный гармонический сигнал $a \sin \omega_1 t$ и нормальная помеха $n(t)$.

Статическая характеристика ФД $F(x)$ является нелинейной и периодической, в частности может иметь пилообразную форму.

В работе [2] получены коэффициенты статистической линейаризации такой нелинейности без ограничения сигнала на ее входе. В частном случае, положив математическое ожидание $m_x = 0$, средняя в вероятностном смысле статистическая характеристика нелинейности φ_0 равна нулю в силу нечетности функции $F(x)$, а статистический коэффициент усиления по случайной составляющей

$$k_{1|-n\pi, n\pi|} = 2 \left\{ \frac{l_n}{d_n} \left[\Phi \left(\frac{1}{\sigma_n} \right) - \frac{1}{\sigma_n} \Phi' \left(\frac{1}{\sigma_n} \right) \right] - \frac{1}{\sqrt{D_x}} \left[\sum_{k=2}^n l_k \Phi' \left(\frac{1}{\sigma_{k-1}} \right) - \sum_{k=2}^n l_k \Phi' \left(\frac{1}{\sigma_{k+1}} \right) - l_k^* \Phi' \left(\frac{1}{\sigma_k^*} \right) \right] \right\}, \quad (1)$$

где l_n , d_n — геометрические параметры нелинейности; $\sigma_n = \frac{\sqrt{D_x}}{d_n}$, $n = 1, 2, \dots$

В выражении (1) k берутся четными и только при n четном $k^* = n$.

Исследуем влияние данной нелинейности ФД на точность системы ФАПЧ при различных уровнях интенсивности помехи, определяемых параметром D .

Пусть помеха $n(t)$, являющаяся белым шумом с интенсивностью D , действует на вход системы, структурная схема которой представлена на рис. 1

Чтобы не загромождать исследования, влияние полезного гармонического сигнала $a \sin \omega_1 t$ учитывается отдельно.

Для интегрирующего ФНЧ передаточная функция

$$W_{\text{ФНЧ}}(p) = \frac{k_2}{Tp + 1}. \quad (2)$$

Нелинейностью СГ пренебрегаем. На основании [3] линейное флуктуационное уравнение СГ по частоте $\omega_{\text{ср}}$ (фазе φ) имеет вид:

$$\omega_{\text{ср}} = \frac{d\varphi}{dt} - p\alpha_0\varphi - \frac{\omega_0}{2R_0} E(t), \quad (3)$$

где ω_0 — частота основного (синхронизированного) колебания;

R_0 — установившееся значение амплитуды основного колебания;

α_0 — относительное приращение амплитуды основного колебания;

p — прочность предельного цикла;

$E(t)$ — случайное воздействие на входе СГ или приведенные к его входу собственные шумы.

Помимо этого,

$$p\alpha_0 = \frac{E_0\omega_0}{2R_0} \sqrt{1 - \left(\frac{\Delta}{\Delta_0}\right)^2}, \quad (4)$$

где E_0 — амплитуда синхронизирующего сигнала, которая определяет частоту основного колебания;

Δ — начальная расстройка;

Δ_0 — полоса синхронизации.

Считая $E(t)$ детерминированным воздействием, из уравнения (3) могут быть получены передаточные функции по фазе

$$W_{\varphi}(p) = \frac{k_{\text{ср}}}{T_{\varphi} p + 1} \quad (5)$$

и по частоте

$$W_{\omega}^*(p) = \frac{k_{\text{ср}} p}{T_{\varphi} p + 1}, \quad (6)$$

где
$$k_{\text{ср}} = \frac{\omega_0}{2R_0 p a_0}, \quad T_{\varphi} = \frac{1}{p a_0}.$$

Знак минус в выражениях (5) и (6) опущен.

Частотная характеристика для выражения (6) равна

$$W(j\omega) = W_{\omega}(p) |_{p=j\omega} = \frac{j\omega k_{\text{ср}}}{T_{\varphi} j\omega + 1}. \quad (7)$$

Отличительное свойство звена с такой частотной характеристикой состоит в том, что при больших частотах (можно пренебречь единицей в знаменателе) оно ведет себя как усилительное (безынерционное) звено.

Таким образом, передаточная функция системы ФАПЧ при указанных допущениях

$$\Phi(p) = \frac{k_1 k_2 k_3}{T p^2 + p + k_1 k_2 k_3}, \quad (8)$$

где k_1 — статистический коэффициент усиления нелинейности по случайной составляющей;

k_2 — коэффициент усиления ФНЧ;

k_3 — коэффициент усиления СГ, определяемый при $\omega \gg 1$ как $k_{\text{ср}}/T_{\varphi}$.

Спектральная плотность частоты основного колебания $S_{\omega}(\Omega)$ как функция частоты $\Omega = \omega - \omega_0$ по известной формуле статистики равна

$$S_{\omega}(\Omega) = |\Phi(j\Omega)|^2 S_n(\Omega) = \frac{D}{2\pi} \cdot \frac{\kappa_1 \kappa_2 \kappa_3}{T^2 \Omega^4 - (2\kappa_1 \kappa_2 \kappa_3 T - 1)\Omega^2 + (\kappa_1 \kappa_2 \kappa_3)^2}, \quad (9)$$

где $\Phi(j\Omega) = \Phi(p) |_{p=j\Omega}$ — частотная характеристика системы;

$S_n(\Omega) = \frac{D}{2\pi}$ — спектральная плотность белого шума.

Взяв производную от функции $S_{\omega}(\Omega)$ по Ω и исследовав ее на экстремум, определим частоту Ω_{max} , при которой спектральная плотность $S_{\omega}(\Omega)$ имеет максимум.

В результате

$$\Omega_{\text{max}} = \sqrt{\frac{2\kappa_1 \kappa_2 \kappa_3 T - 1}{2T^2}}. \quad (10)$$

Величина σ_{\max} зависит от величины статистического коэффициента k_1 , который, в свою очередь, зависит от величины σ_x на входе нелинейности, равной

$$\begin{aligned}\sigma_x &= \sqrt{\int |\Phi_{xn}(j\Omega)|^2 S_n(\Omega) d\Omega} = \\ &= \sqrt{\frac{D(T + \kappa_1 \kappa_2 \kappa_3)}{2\kappa_1 \kappa_2 \kappa_3}},\end{aligned}\quad (11)$$

где

$$\Phi_{xn}(j\Omega) = \frac{Tj\Omega + 1}{Tj\Omega^2 + j\Omega + \kappa_1 \kappa_2 \kappa_3}.$$

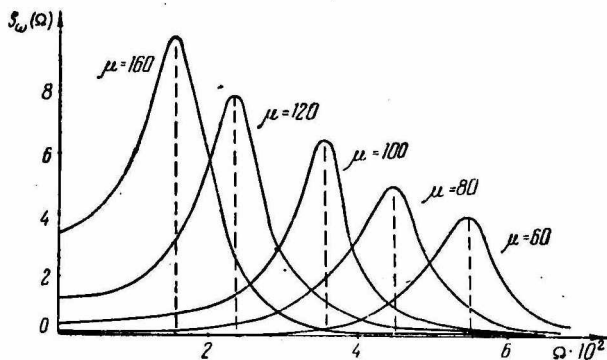


Рис. 2.

Из выражения (11) получается следующее соотношение между параметром D и величиной σ_x :

$$D = \frac{2\kappa_1 \kappa_2 \kappa_3}{T + \kappa_1 \kappa_2 \kappa_3} \sigma_x^2. \quad (12)$$

Решив совместно уравнения (11) и, например (1), находим конкретные значения k_1 и σ_x для определенного уровня интенсивности D .

Исследуем зависимость спектральной плотности от параметра D .

На рис. 2 с учетом формул (9) и (10) построен график $S_\omega(\Omega)$, где значения k_1 вычислены по формуле (1), для случая $-2\pi < x_m \leq \leq 2\pi$ при различных величинах σ_x и следующих параметрах системы: $k_2 = 0,5$;

$k_3 = 2 \cdot 10^6$ рад/сек.в; $T = 1 \cdot 10^{-2}$ сек; $|l_i| = |d_i|$ ($i = 1, 2, \dots, n$).

Очевидно, что для спектральной плотности $S_\omega(\Omega)$ как функции частоты $\Omega = \omega_0 - \omega$ получится симметричная картина относительно ординаты.

Анализируя полученную зависимость (рис. 2), можно сделать следующие выводы.

При отсутствии помехи ($D = 0$) и при нулевой начальной расстройке ($\Delta = 0$) спектральная плотность $S_\omega(\Omega)$ частоты основного гармонического колебания состояла бы только из δ -функции в начале координат, так как $\delta(\omega - \omega_0) = \delta(\Omega)$.

При действии помехи $n(t)$ у δ -функции появляются крылья — рассмотренная нами спектральная плотность $S_{\omega}(\Omega)$, максимум которой перемещается, как бы «плавает», при изменении параметра $\mu = D/2\pi$.

При этом с увеличением параметра μ максимум $S_{\omega}(\Omega)$ также увеличивается и приближается к частоте ω_0 , что значительно ухудшает монохроматичность спектра основного колебания.

В заключение отметим, что в реальном случае при действии на входе гармонического сигнала $a \sin \omega_1 t$ со спектральной плотностью

$$S_{\omega_1}(\omega) = \frac{a^2}{4} [\delta(\omega - \omega_1) + \delta(\omega + \omega_1)] \quad (13)$$

и помехами $n(t)$ спектральная плотность $S_{\omega}(\Omega)$ наряду с непрерывной частью имела бы пики на частотах $\Omega - \omega_1$ и $\Omega + \omega_1$.

ЛИТЕРАТУРА

1. Л. Г. Евланов, И. Е. Казаков. Статистическое исследование автоколебательных систем в установившихся режимах. «Автоматика и телемеханика», 1969, № 12, с. 12—17.

2. В. М. Качеровский, А. С. Краснополюсовский, Ю. Н. Соколов. Статистическая линеаризация периодической нелинейности, имеющей точки разрыва первого рода. Сб. «Система управления летательных аппаратов». Вып. 1. Харьков, 1972, с. 83—88.

3. А. Н. Малахов. Флуктуации в автоколебательных системах. Изд-во «Наука», 1968. 660 с.